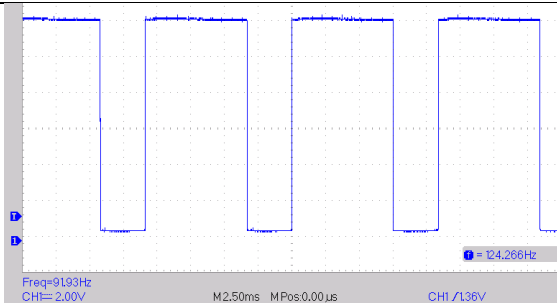
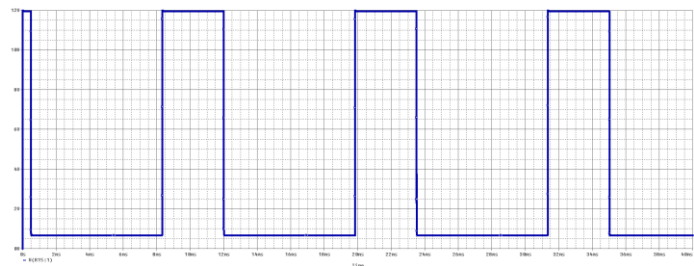


Теоретический график

Экспериментальный график

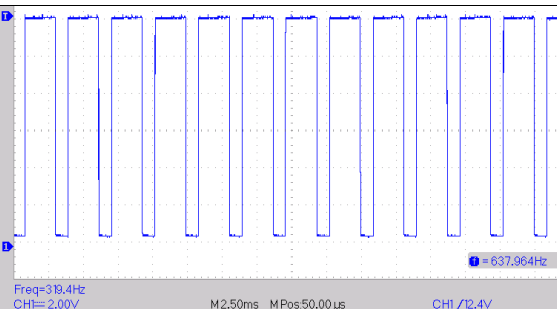
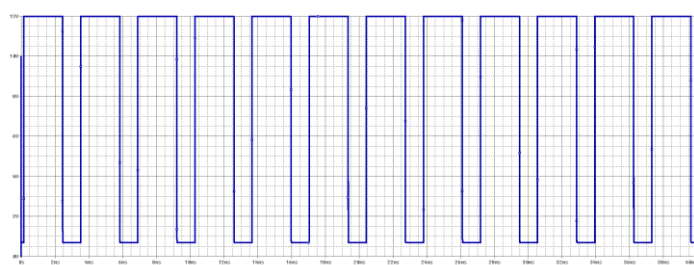
Вывод

Выходной сигнал при повороте потенциометров частоты на 90° и скважности на 90°



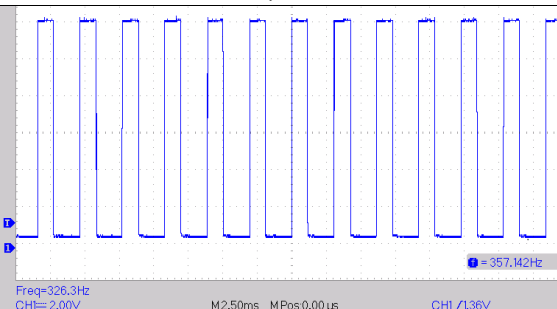
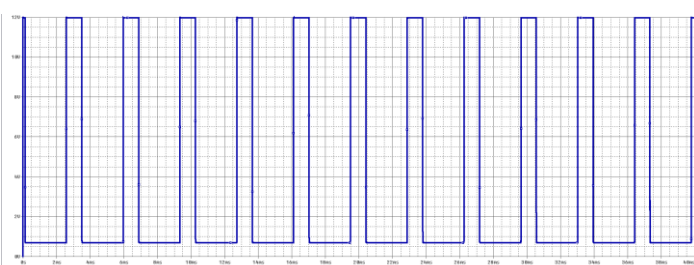
Частота: 91Гц (-2% от теор.)
Скважность: 68% (+2% от теор.)
Имеются незначительные шумы

Выходной сигнал при повороте потенциометров частоты на 180° и скважности на 90°



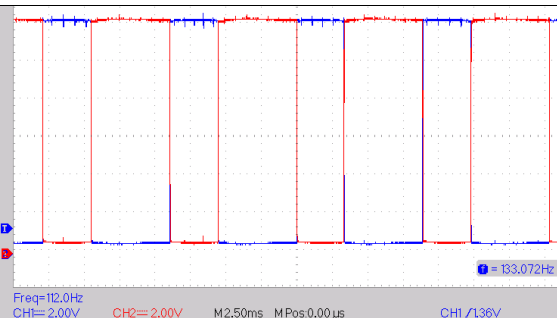
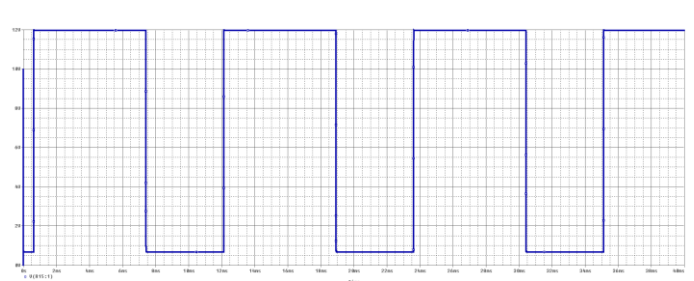
Частота: 323Гц (-3% от теор.)
Скважность: 68% (-4% от теор.)
Имеются незначительные шумы

Выходной сигнал при повороте потенциометров частоты на 180° и скважности на 180°



Частота: 333Гц (-8% от теор.)
Скважность: 26% (-9% от теор.)
Имеются незначительные шумы

Выходной сигнал при повороте потенциометров частоты на 90° и скважности на 180°



Частота: 83Гц (+2% от теор.)
Скважность: 24% (+6% от теор.)
Имеются незначительные шумы